конкретные условия для параметров системы, при которых этот переход происходит.

ЛИТЕРАТУРА

- 1. Солитоны и нелинейные волновые уравнения / Р. Додд, Дж. Эйлбек, Дж. Гиббон, Х. Моррис. М.: Мир, 1988. 694 с.
- 2. **Ньюэлл А.** Солитоны в математике и физике. М.: Мир, 1989. 326 с.
- 3. **Князев М. А.** Формирование связанных состояний в скалярной теории Φ^4 // Доклады НАН Беларуси. 2000. Т. 44, № 2. С. 38—41.
- 4. **Geike J.** Comment on «Kink soliton and friction» // Phys. Lett. A. 1986. V. 116, № 5. P. 221–223.
- 5. **Князев М. А.** Прямой метод построения солитоноподобных решений нелинейных уравнений // Доклады АН Беларуси. — 1996. — Т. 40, № 4. — С. 64—67.

- 6. **Knyazev M. A.** A method for solving nonlinear equations // Rep. Math. Phys. 1997. V. 40, № 3. P. 493–500.
- 7. **Biltz H., Büttner H., Fröhlich H.** Electrolet model for the collective behaviour of biological systems // Z. Naturforsch. -1981. V.36b, No.2. P.208-212.
- 8. Lal P. Kink soliton and friction // Phys. Lett. A. 1985. V. 111, № 8, 9. P. 389–390.
- 9. Collins M. A., Blumen A., Currie J. F., Ross J. Dynamics of domain walls in ferrodistorsive materials // Phys. Rev. B. 1979. V. 19, № 7. P. 3630–3644.
- 10. González J. A., Guerrero L. E., Bellorín A. Self-excited soliton motion // Phys. Rev. E. 1996. V. 54, № 2. P. 1265–1273.
- 11. González J. A. et al. Resonance Phenomena of a Solitonlike Extended Objects in Bistable Potential // Phys. Rev. Lett. 1998. V. 80, № 7. P. 1361–1364.

УДК 539.3

ОПРЕДЕЛЕНИЕ МОМЕНТОВ СИЛ В СУСТАВАХ ЧЕЛОВЕКА, МОДЕЛИРУЕМОГО АНТРОПОМОРФНЫМ МЕХАНИЗМОМ С АБСОЛЮТНО ТВЕРДЫМИ ЗВЕНЬЯМИ

Соиск. БОРИСОВ А. В.

Белорусский национальный технический университет

Проблема определения моментов важна, потому что суставные моменты мышечных сил отражают процесс управления движением. Однако [1] прямых методов измерений моментов мышечных сил не существует. Но с помощью методов математического моделирования можно рассчитать моменты сил, локализованные в области крупных суставов. Экспериментальными данными для определения суставных моментов являются угловые перемещения в суставах. Их можно найти по кинограммам движения. Для определения суставных моментов мышечных необходимы уравнения движения механической модели человека. Задаваясь величинами моментов инерции сегментов тела человека, коэффициентами жесткости суставов и значениями углов закручивания сегментов, можно определить трансверальные моменты мышечных сил для суставов. В нашей модели будем считать все суставы и звенья недеформируемыми [2, 3].

Возьмем приближенную к человеку одиннадцатизвенную модель механизма. Рассмотрим упрощенную модель плоского движения шагающего аппарата в одноопорной фазе (рис. 1). Введем неподвижную правую декартову систему координат хуг с началом в точке О и плоскостью ху, в которой происходит движение центра масс шагающего аппарата. Пусть механизм имеет две трехзвенные весомые ноги, две двухзвенные весомые руки и весомый корпус. На рис. 1 схематично изображен механизм и введены соответствующие обозначения.

Пусть $O_1A_1 = l_1$; $A_1B_1 = l_2$; $B_1C = l_3$; $B_2C = l_3$; $A_2B_2 = l_2$; $O_2A_2 = l_1$; $CG = l_7$; $DE_1 = l_8$; $E_1F_1 = l_9$; $DE_2 = l_8$; $E_2F_2 = l_9$ — длины звеньев аппарата. Центры масс находятся в точках: C_1 — стопы опорной ноги; C_2 — голени опорной ноги; C_3 —

бедра опорной ноги; C_4 — бедра переносной ноги; C_5 — голени переносной ноги; C_6 — стопы переносной ноги; C_7 — корпуса; C_8 , C_{10} — плеч; C_9 , C_{11} — предплечий. Их положения будем задавать в виде отношений к началу соответствующего звена через множители n_i ($i=1,\ldots,11$; $0 < n_i < 1$) (если все звенья перенумеровать по номерам индексов у соответствующих углов). Такой способ задания положений центров масс в нашем случае предпочтителен в связи с дальнейшим моделированием человека, для которого положения центров масс конечностей определяются эмпирическим путем и задаются в процентном отношении одной части звена к другой.

Массы: m_1 , m_6 ; m_2 , m_5 ; m_3 , m_4 ; m_8 , m_{10} ; m_9 , m_{11} ; m_7 — массы стопы, голени, бедра, плеч, предплечий и корпуса соответственно. Моменты инерции: I_1 , I_6 ; I_2 , I_5 ; I_3 , I_4 ; I_8 , I_{10} ; I_9 , I_{11} ; I_7 — стопы, голени, бедра, плеч, предплечий и корпуса соответственно. Правую и левую конечности механизма мы будем считать Одина-ковыми. Поэтому $m_1 = m_6$; $m_2 = m_5$; $m_3 = m_4$; $m_8 = m_{10}$; $m_9 = m_{11}$; $I_1 = I_6$; $I_2 = I_5$; $I_3 = I_4$; $I_8 = I_{10}$; $I_9 = I_{11}$.

При расчетах и моделировании движения робота все вышеприведенные характеристики берутся равными соответствующим характеристикам испытуемого человека [4].

Координаты центров масс механизма относительно выбранной системы отсчета, определяются известными геометрическими соотношениями.

Для вывода уравнений движения воспользуемся уравнениями Лагранжа

$$\frac{\mathrm{d}}{\mathrm{d}t}\left(\frac{\partial L}{\partial \dot{q_i}}\right) - \frac{\partial \dot{L}}{\partial q_i} = Q_i,$$

где q_i — обобщенные координаты; Q_i — обобщенные силы, в данном случае моменты сил $(i=1,\ldots,11)$.

Опуская такие преобразования, как отыскание производных, возведение в квадрат и т. д., которые можно поручить компьютеру, в виду их громоздкости, мы приведем только схему записи уравнений.

Для i-го звена кинетическая энергия имеет вид

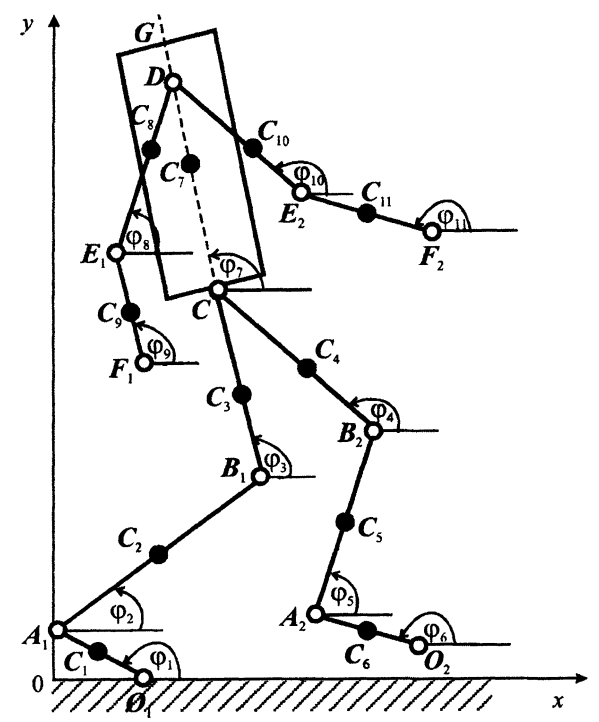


Рис. 1. Модель плоского движения шагающего антропоморфного аппарата, моделирующего человека, в одноопорной фазе

$$T_i = \frac{m_i v_{Ci}^2}{2} + \frac{I_i \varphi_i^2}{2},$$

где m_i – масса i-го звена; v_{Ci} – скорость центра масс i-го звена; I_i – момент инерции i-го звена;

 ϕ_i – угловая скорость *i*-го звена (i = 1, ..., 11).

Скорость центра масс v_{Ci} *i*-го звена найдем следующим образом:

$$v_{Ci}^2 = v_{xCi}^2 + v_{yCi}^2.$$

Вертикальные и горизонтальные составляющие скорости *i*-го звена равны:

$$v_{xCi} = \frac{\mathrm{d}x_{Ci}}{\mathrm{d}t};$$

$$v_{yCi} = \frac{\mathrm{d}y_{Ci}}{\mathrm{d}t}.$$

Тогда, подставляя выражения для скорости, получаем кинетическую энергию i-го звена.

Запишем потенциальную энергию i-го звена (i = 1, ..., 11)

$$\Pi_i = m_i g y_{Ci}$$

Кинетическая энергия механизма складывается из кинетических энергий отдельных звеньев и корпуса

$$T=\sum_{i=1}^{11}T_i.$$

Потенциальная энергия механизма складывается из потенциальных энергий отдельных звеньев и корпуса

$$\Pi = \sum_{i=1}^{11} \Pi_i .$$

Функция Лагранжа имеет вид: $L = T - \Pi$. Подставляя полученную функцию Лагранжа в уравнения Лагранжа, получаем уравнения движения аппарата.

Уравнения движения механизма в одноопорной фазе представляют собой систему одиннадцати нелинейных дифференциальных уравнений вектора угловых переменных

$$B(z) \ddot{z} + D(z) \dot{z}^2 + gA(z)\cos z = C(z),$$

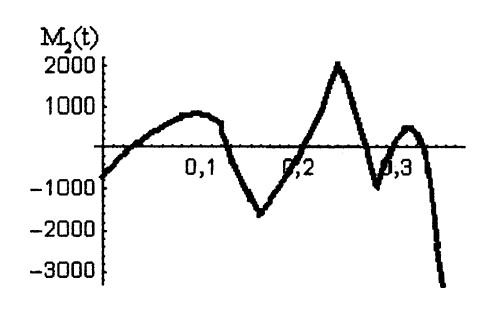
где B(z), D(z) — соответственно матрицы симметрическая и кососимметрическая, элементы которой зависят от углов поворотов звеньев; A(z) — матрица, определяемая моментами силы тяжести; C(z) — матрица управляющих моментов, $z=(\phi_1,\phi_2,\phi_3,\phi_4,\phi_5,\phi_6,\phi_7,\phi_8,\phi_9,\phi_{10},\phi_{11})^T$; z — матрица обобщенных ускорений; z^2 — то же скоростей; z — матрица косинусов обобщенных координат.

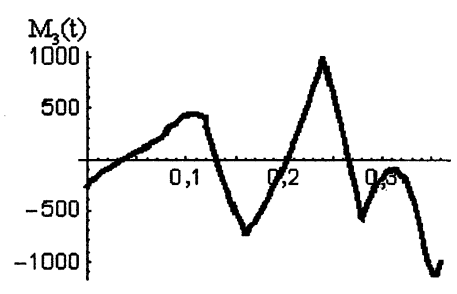
Таким образом, мы получили уравнения движения 11-звенного механизма, моделирующего человека.

Для дальнейшего решения задачи управления движением антропоморфного механизма необходимо определить управляющие моменты в суставах человека, моделируемого 11-звенным механизмом. Следует начинать с интерполяции данных о кинематике движения, полученных из кинограмм. Теперь используем эту информацию для решения задачи определения моментов в суставах человека. Для этого подставим полученные интерполяционные функции в систему дифференциальных уравнений, выведенных в предыдущем параграфе, и решим эту систему относительно 11 управляющих моментов. В итоге получим зависимости моментов от времени. Приведем на рис. 2 для образца

зависимости для коленного и тазобедренного суставов опорной ноги.

Нам необходимо рассчитывать управляющие моменты во время, когда одна нога опорная, другая — переносится и наоборот. Так как бег, ходьба, приседание и т. п. являются циклическими движениями, нам достаточно рассмотреть один период. Расчет начнем с момента начала приземления правой ноги на опору.





Puc. 2. Зависимости моментов от времени за один период шага

Из графиков видно, что максимальные значения моментов для различных соединений изменяются в очень большом диапазоне: от 2000 Н·м для голеностопного соединения опорной ноги до 20 Н·м для лучезапястного соединения руки. Также видно, что зависимости моментов для опорной ноги подобны, а их максимальные значения убывают по мере подъема от голеностопного до тазобедренного суставов, что согласуется с данными биомеханики.

Согласно предложенной нами методике проведен полный расчет усилий и моментов сил выполняющего движения человека по кинограммам.

Подобие графиков для ног согласуется с данными биомеханики. Сравнивая [1] полученные значения моментов мышечных сил для тазобедренного, коленного и голеностопного суставов, авторы отмечают, что результаты имеющихся исследований вариативны, хотя имеются

закономерности, характерные для нормальной ходьбы: наибольшее значение моментов мышечных сил в суставах нижней конечности, соответствующее стабилизации положения центра тяжести тела, наблюдается в начале опорного периода и в конце опорной фазы, направленное на продвижение центра тяжести вперед.

Вычисленные значения моментов мышечных сил для коленного и тазобедренного суставов в течение переносного периода доказывают, что в этот период шага нога не ведет себя как маятник, для которого значения моментов должны равняться нулю. Установлено [3], что мышечные моменты повторяются кривыми продольных усилий: кривая моментов в тазобедренном сочленении напоминает кривую продольных усилий в центре тяжести всей ноги, а кривая мышечных моментов в коленном сочленении сопоставима с продольными усилиями в центре тяжести голени со стопой. На основании этого было сделано заключение, что «продольные усилия воспроизводят внутреннюю, иннервационную структуру движения» [5].

При определении суставных моментов мышечных сил следует учитывать, что моменты инерции сегментов нижних конечностей меняются в различные фазы шага за счет изменения положения сегментов в пространстве и экскурсии мышц нижних конечностей. С помощью прокачивания гипсовых слепков в положении, соответствующем фазам переднего и заднего толчков, было определено, что момент инерции голени со стопой в фазе переднего толчка на 21,2 % больше, по сравнению с положением в

фазе заднего толчка. Поэтому в нашем исследовании этим изменением пренебрежем.

вывод

Таким образом, выведены уравнения движения антропоморфного механизма, моделирующего человека, что позволило определить управляющие моменты в суставах человека, которые можно использовать в практической работе по созданию антропоморфных механизмов.

ЛИТЕРАТУРА

- 1. Зациорский В. М., Каймин М. А. Биомеханика ходьбы: Лекция для факультета усовершенствования. М.: ГЦОЛИФК, 1978. 65 с.
- 2. Губа В. П., Борисов А. В. Определение сил и моментов силы в подвижных соединениях человека по кинограммам движения // Человек, здоровье, физическая культура и спорт в изменяющемся мире: Материалы XIII Междунар. науч.-практ. конф. по проблемам физич. воспитания уч-ся. Коломна: Коломенский государственный педагогический институт, 2003. Т. 1. С. 168–169.
- 3. **Борисов А. В.** Построение движений антропоморфных механизмов с использованием информации об управлении в суставах, полученной от человека // Там же. С. 160–161.
- 4. **Борисов А. В.** Методы определения длин конечностей и звеньев человека с расчетом инерционных характеристик // Науч. труды Междунар. науч.-практ. конф. ученых МАДИ (ГТУ), МСХА, ЛНАУ, 5–6 янв. 2004 г. Т. 4: Педагогика и методика. М.; Луганск: Изд-во МАДИ (ГТУ), МСХА, ЛНАУ; Смоленск, ООО «Инга», 2004. С. 77–90.
- 5. **Бернштейн Н. А.** Избранные труды по биомеханике и кибернетике. М.: СпортАкадемПресс, 2001. 296 с.